



بررسی آزمایشگاهی جریان الکترو-اسمز در اثر جریان و رطوبت گازهای ورودی به پل سوتی تکسلولی غشاء پلیمری

محمد قلیزاده¹, محسن قاضی خانی^{2*}, ایمان خزایی³

1- دانشجوی دکتری، مهندسی مکانیک، دانشگاه فردوسی، مشهد

2- استاد، مهندسی مکانیک، دانشگاه فردوسی، مشهد

3- استادیار، مهندسی مکانیک، دانشگاه شهید بهشتی، تهران

*مشهد، صندوق پستی 91779-48944

چکیده

در پژوهش حاضر، رطوبت نسبی گازها در یک پل سوتی با غشاء میادله کننده پروتون تغییر داده شد و اثر آن بر جریان الکترو-اسمز بررسی گردید. با تغییر رطوبت در دو طرف پل سوتی و استفاده از معادلات تعادل آب، مقادیر جریان الکترو-اسمز، ضربیت الکترو-اسمز و درگ خالص در رطوبت‌های مختلف به دست آمد. نتایج نشان داد که تغییرات الکترو-اسمز بر حسب رطوبت آند و کاتد تا یک رطوبت خاص به صورت خطی تغییر می‌کرد و بعد از آن تغییر زیادی مشاهده نگردید. همچنین نتایج نشان داد که تغییر رطوبت آند اثر مطلوب‌تری نسبت به تغییر رطوبت کاتد داشت. برای مثال، در رطوبت 70 درصد آند و 35 درصد کاتد با جریان 5 آمپر مقدار جریان الکترو-اسمز برابر با 2.66639×10^{-6} مول بر ساعتی متر مربع بر ثانیه بود. نتایج نشان داد که تغییرات ضربیت الکترو-اسمز بر حسب رطوبت نیز به صورت خطی تغییر می‌کرد. همچنین معلوم شد که تغییر جریان پل سوتی اثر چندانی بر نمودارهای ضربیت الکترو-اسمز ندارد. محدوده تغییرات ضربیت الکترو-اسمز بین 0.636001 تا 1.632476 به دست آمد که با اعداد موجود در مقالاتی که در این زمینه ارائه شده است، مطابقت خوبی داشت. همچنین، تغییرات درگ خالص بر حسب رطوبت بررسی شد و مشخص گردید که درگ خالص بر حسب رطوبت کاتد به صورت خطی با شبیه مثبت تغییر می‌کرد اما تغییرات بر حسب رطوبت کاتد به صورت خطی با شبیه منفی بود.

اطلاعات مقاله

مقاله پژوهشی کامل

دراخیت: 12 بهمن 1394

پذیرش: 18 بهمن 1394

ارائه در سایت: 08 اسفند 1394

کلید واژگان:

پل سوتی

رطوبت نسبی

تعادل آب

جریان الکترو-اسمز

درگ خالص

Experimental investigation of electro-osmotic flow in effect of current and humidity of inlet gases into the single PEM fuel cell

Mohammad Gholizadeh¹, Mohsen Ghazikhani^{1*}, Iman Khazaee²

1- Department of Mechanical Engineering, Ferdowsi University, Mashhad, Iran

2- Department of Mechanical Engineering, Shahid-Beheshti University, Tehran, Iran

*P.O.B. 9177948944, Mashhad, Iran, ghazikhani@um.ac.ir

ARTICLE INFORMATION

Original Research Paper

Received 01 February 2016

Accepted 01 February 2016

Available Online 27 February 2016

Keywords:

Fuel cell

Relative humidity

Water balance

Electro-osmotic flow

Net drag

ABSTRACT

In this study, the relative humidity of the gases in the PEM fuel cell was changed and its effect on electro-osmotic flow was investigated. By changing the humidity on both sides of the fuel cell and using the water balance equations, the values of the electro-osmotic flow, electro-osmotic coefficient and net drag in different humidity levels were found. Results showed that variations of the electro-osmotic flow changed linearly by anode and cathode humidity to the special humidity and after that little variation was observed. In addition, the results revealed that humidity change at anode had a more desirable effect than the cathode. For example, at 70% anode humidity and 35% cathode humidity with the current of 5A, the value of electro-osmotic flow was obtained as $2.66639E-06$ mol/cm².s, while in the former 35% and the latter 70% with the same current, this value was recorded as $2.56418E-06$ mol/cm².s. In addition, results showed that the variations of the electro-osmotic coefficient changed linearly by humidity. It was determined the current change of fuel cell does not have a good effect on the curves of electro-osmotic coefficient. The electro-osmotic coefficients varied between 0.636001 and 1.632476, which were in good agreement with the values obtained in other related papers. In addition, the variations of the net drag with respect to humidity were investigated, too. It was determined that the net drag changed linearly by the cathode humidity with positive slope, but its variations by the anode humidity were linear with negative slope.

باعث افزایش قابلیت هدایت پروتون از آند به کاتد می‌شود و کم بودن آب در

غشاء پل سوتی، هدایت پروتون را با مشکل مواجه می‌کند. در پل سوتی

غشا پلیمری، پروتون ضمن حرکت از آند به کاتد ملکول‌های آب را نیز با خود

مرطوب بودن غشاء در پل سوتی یکی از مسائل مهم است که در پل سوتی غشاء پلیمری از اهمیت ویژه‌ای برخوردار است. مرطوب بودن غشاء

1- مقدمه

Please cite this article using:

M. Gholizadeh, M. Ghazikhani, I. Khazaee, Experimental investigation of electro-osmotic flow in effect of current and humidity of inlet gases into the single PEM fuel cell, *Modares Mechanical Engineering*, Vol. 16, No. 3, pp. 105-111, 2016 (in Persian)

برای ارجاع به این مقاله از عبارت ذیل استفاده نمایید:

الکترو-اسمز، ضریب نفوذ معکوس وغیره به طور آزمایشگاهی بررسی کردند [8].

در این کار، رطوبت گازهای ورودی به پبل سوختی تغییر داده شد و تاثیر آن بر روی جریان الکترو-اسمز و ضریب الکترو-اسمز و همچنین درگ خالص به دست آمد. همچنین روابط مربوط به موازنۀ جرم آب مورد تحلیل و بررسی واقع شد. در بستر آزمایش پژوهش حاضر، تغییر رطوبت غشاء به وسیله تغییر رطوبت در گازهای ورودی بخش آند و کاتند انجام شد و رطوبت-های هر دو طرف بین حالت خشک و حالت 100% تغییر داده شدند. با تغییر رطوبت و ثبت داده‌های آزمایشگاهی در قسمت‌های مختلف پبل سوختی و همچنین با استفاده از روابط تجربی و ترمودینامیکی موجود، مقادیر مربوط به ضرایب الکترو-اسمز و جریان الکترو-اسمز و درگ خالص در حالت‌های مختلف محاسبه شده و مورد تجزیه و تحلیل واقع شدند.

2- بستر آزمون

سطح فعال پبل سوختی تک سلولی غشاء پلیمری 25 سانتی‌متر مربع می-باشد. جنس غشای پلیمری از نفیون 117 و جنس لایه نفوذ گاز از پوشش کربنی با ضخامت 0.33 میلی‌متر است. همچنین جنس لایه کاتالیست از پلاتینیوم با مقدار 4 میلی‌گرم بر سانتی‌متر مربع و ضخامتی در حدود 0.01 میلی‌متر است. ضخامت صفحات دوقطبی نیز برابر 5 میلی‌متر است. شکل کانال‌ها در این پبل سوختی به صورت مارپیچ چهارتایی بوده و سطح مقطع آن بیضوی می‌باشد. همچنین طول هر کanal برابر 4.8 سانتی‌متر و فاصله بین هر کanal برابر 1 میلی‌متر می‌باشد. در بستر آزمایش پروژه حاضر، برای دستیابی به داده‌های موردنظر علاوه بر پبل سوختی منفرد تجهیزاتی مانند دی‌سنچ VFA-SSV برای گاز هیدروژن و دی‌سنج مدل LZB-4WB برای گاز اکسیژن، مانومتر مدل یونیما، رطوبت‌زن، ترمومتر مدل PT100، رطوبت‌سنج مدل SU-503B ، وات متر مدل ELB 350 - Fuel Cell Testing - EK-600H، کنداسور و کپسول گاز نیز نیاز بود که تمامی آنها در یک میز کار مورد استفاده قرار گرفتند. در شکل 1 شماتیکی از بستر تست قابل مشاهده است.

در اینجا به جای استفاده از هوا در سمت کاتند از اکسیژن خالص استفاده گردید. فشار هیدروژن و اکسیژن در تمامی آزمایشات در سر کپسول ها برابر با فشار پیمانه‌ای 2 بار در نظر گرفته شد و دمای پبل سوختی نیز در تمام آزمایشات برابر با 55 درجه سلسیوس لحاظ گردید. همچنین، رطوبت نسبی گازهای ورودی در هر دو طرف آند و کاتند با استفاده از روش حبایی از صفر تا 100 درصد تغییر داده شد و مقدار دبی گازهای ورودی به پبل سوختی نیز اندازه‌گیری شد. در خروجی‌های آند و کاتند پبل سوختی نیز به ترتیب از یک کنداسور، دما‌سنج، دبی‌سنج و رطوبت‌سنج استفاده گردید که مقدار داده‌های لازم را ثبت می‌کردند. در تمامی محاسبات ریاضی مربوط به بحث الکترو-اسمز که در بخش 3 به آن پرداخته می‌شود، گازهای هیدروژن و اکسیژن به صورت گاز ایده‌آل فرض گردید. از آنجاییکه در تعادل آب یک پبل سوختی غشاء پلیمری سه بحث الکترو-اسمز، نفوذ معکوس و جابجایی نقش آفرینی می‌کنند و با توجه به اینکه در اینجا بیشتر بحث روی جریان الکترو-اسمز می‌باشد، لذا با یکسان گرفتن فشار در دو طرف آند و کاتند به نوعی از اثر جابجایی نیز صرف‌نظر گردید. در شکل 2 بستر آزمایش پژوهش حاضر با جزئیات آن قابل مشاهده است.

حرکت می‌دهد، در اثر این کار از میزان آب آند کاسته شده و حالت خشکی را در سمت آند ایجاد می‌کند. از آنجاییکه در انتقال پروتون از سمت آند به سمت کاتند رطوبت غشا نقش تعیین کننده‌ای ایفا می‌کند، لذا با خشک شدن غشا راندمان پبل سوختی به شدت کاهش می‌یابد. از طرف دیگر، آبی که از سمت آند به سمت کاتند می‌آید با آبی که در سمت کاتند در اثر واکنش شیمیایی تولید می‌شود با هم جمع شده و یک حالت شناوری را در سمت کاتند ایجاد می‌کنند. مقادیر زیاد آب در سمت کاتند باعث بسته شدن منافذ مربوط به لایه نفوذ گاز آند شده و در اثر آن عملکرد پبل سوختی با مشکل روپرورد شده و باعث افت کارایی پبل سوختی می‌شود. لازم به ذکر است که افزایش مقدار آب در سمت کاتند پبل سوختی سبب افزایش غلظت آب نسبت به سمت آند شده و در اثر این اختلاف غلظت مقداری از آب به سمت آند برمی‌گردد. این فرایند که به فرایند نفوذ معکوس معروف است می‌تواند کارایی پبل سوختی را افزایش دهد.

با توجه به نکات گفته شده در پاراگراف قبل، برای بهبود کارایی پبل سوختی لازم است که حالت تعادلی در میزان آب موجود در غشا پبل سوختی ایجاد گردد. مربوط کردن گازهای ورودی به پبل سوختی و کنترل رطوبت آنها یکی از راهکارهای مناسب جهت ایجاد تعادل آب در غشا پبل سوختی می‌باشد. از آنجاییکه بررسی تعادل آب در قسمت‌های مختلف پبل سوختی مساله بسیار مهم و اساسی است، تحقیقات، آزمایشات و مدلسازی-های مختلفی هم راجع به آن انجام شده است. البته مشخص است که پژوهش‌ها و آزمایش‌های انجام گرفته در این زمینه کافی نبوده و مطمئناً تحقیق‌ها و بررسی‌های بیشتری در این زمینه مورد نیاز می‌باشد.

کریمی و لی در سال 2005، جریان الکترو-اسمز در غشاء‌های پلیمری را به همراه اثر الکتروسیتیک مدل کردند و پارامترهای کلیدی موثر بر عملکرد پبل سوختی غشاء پلیمری را تعیین نمودند [1]. یان و همکارانش تعادل آب در پبل سوختی غشاء پلیمری را با استفاده از اندازه‌گیری ضرایب درگ خالص تحت شرایط مختلف بررسی کردند. همچنین، اثرات تعادل آب در غشاء روی عملکرد پبل سوختی را نیز در شرایط مختلف کاری بررسی نمودند [2]. یان و همکارانش در سال 2006، به صورت نظری پدیده انتقال آب را در پبل‌های سوختی غشاء پلیمری در حالت گذرا در لایه نفوذ گاز، لایه کاتالیست و غشاء میادله کننده پروتون بررسی نمودند. در غشاء، هر دو فرایند الکترو-اسمز و نفوذ در نظر گرفته شد، در صورتیکه در لایه کاتالیست و لایه نفوذ گاز تنها فرایند نفوذ لحاظ گردید [3]. کای و همکارانش مقاومت غشاء پبل سوختی غشاء پلیمری را اندازه گرفته و آزمایش تعادل آب را انجام دادند. آن‌ها برای اینکار قabilت انجام کار یک پبل سوختی با هیدروژن خشک را مورد بررسی قرار دادند [4]. هوسار و همکارانش در سال 2008، پدیده انتقال آب از طریق غشاء پبل سوختی را با توجه به مکانیزم‌های جداگانه موجود در یک پبل سوختی غشاء پلیمری به صورت درجا اندازه گرفتند [5]. پارک و کاتن با استفاده از آزمایش تعادل آب ضرایب الکترو-اسمز در غشاء نفیون 115 را تحت شرایط مختلف کاری به صورت تابعی از درصد رطوبت و شرایط ترمودینامیکی به دست آوردند [6]. داس و همکارانش در سال 2010، برای بررسی انتقال آب در لایه کاتالیست کاتند یک پبل سوختی غشاء پلیمری، حل تحلیلی انتقال آب را به صورت یک بعدی در عرض لایه کاتالیست کاتند با استفاده از معادلات انتقال بنیادی انجام دادند [7]. میسران و همکارانش در سال 2013، اثر مقدار آب را در غشاء پبل سوختی غشاء پلیمری، در حالت غشاء خشک و غشاء با رطوبت 100% در دماهای مختلف برحسب ضریب

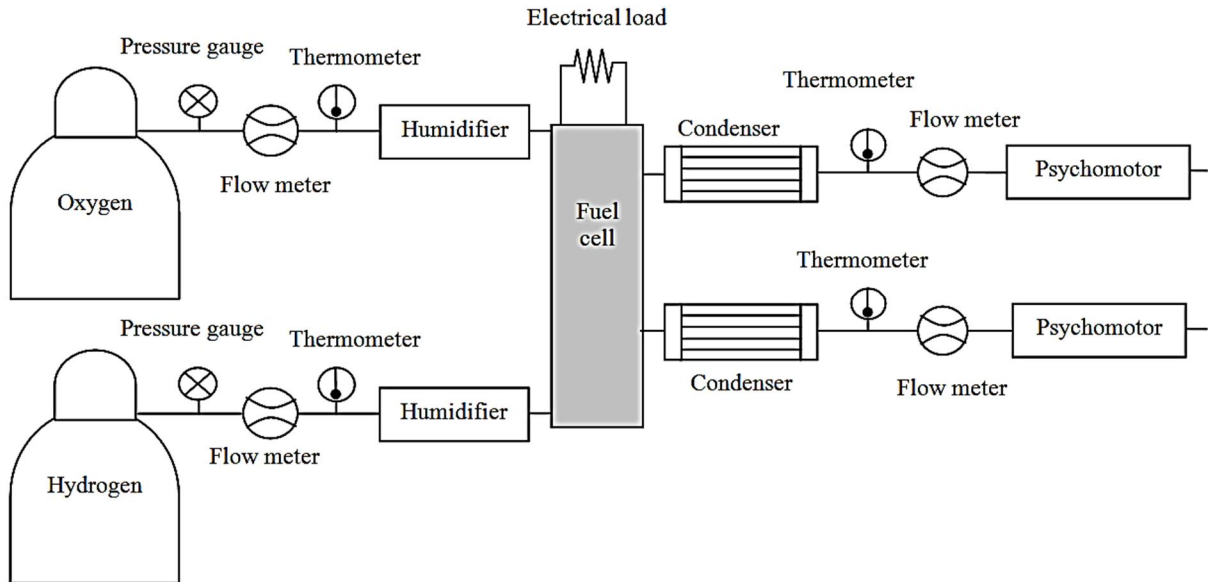


Fig. 1 schematic of test set-up

شکل ۱ شماتیکی از بستر آزمایش

نمود [9]:

$$P_v = \emptyset \times P_{sat|T} \quad (4)$$

در این رابطه \emptyset رطوبت نسبی و $P_{sat|T}$ فشار بخار اشباع در دمای مورد نظر می‌باشد. مقدار $P_{sat|T}$ را می‌توان از رابطه (5) بدست آورد [9]:

$$\begin{aligned} P_{sat|T} = & 6.02724 \times 10^{-3} + 4.38484 \times 10^{-4} \times T \\ & + 1.39844 \times 10^{(-5)} \times T^2 + 2.71166 \times 10^{(-7)} \times T^3 \\ & + 2.57731 \times 10^{(-9)} \times T^4 + 2.82254 \times 10^{(-11)} \times T^5 \end{aligned} \quad (5)$$

در روابط (1) و (2) جمله $\dot{N}_{Condense}$ بیانگر نرخ مولی آب چگالیده شده در گازهای خروجی از پیل سوختی می‌باشد که در یک رطوبت‌گیر ذخیره شده و توسط ترازوی دیجیتال مقدار آن مشخص می‌شود. همچنین در روابط مذکور عبارات \dot{N}_v^P و \dot{N}_v^{EOF} به ترتیب نرخ مولی آب تولید شده در سمت کاتد و نرخ مولی مربوط به فرایند الکترو-اسمز می‌باشند که مقدار آنها از روابط (6) و (7) بدست می‌آید [11,10]:

$$\dot{N}_v^P = \frac{I}{2F} \quad (6)$$

$$\dot{N}_v^{EOF} = n_d \frac{I}{F} \quad (7)$$

در این روابط I بیانگر دانسیته جریان پیل سوختی، F عدد فارادی که مقدار آن برابر است با 96487 C/mol و n_d ضریب الکترو-اسمز می‌باشد. مقدار n_d از رابطه (8) به دست می‌آید [10]:

$$n_d = \begin{cases} 0.0049 + 2.02a - 4.53a^2 + 4.09a^3 : 0 < a \leq 1 \\ 1.5849 + 0.159(a-1) : a > 1 \end{cases} \quad (8)$$

در رابطه فوق a مقدار فعالیت بخار آب غشاء می‌باشد که مقدار آن را می‌توان از رابطه (9) بدست آورد:

$$a_j = y_i \frac{P_j}{P_{sat,j}} \quad (9)$$

در این رابطه y_i کسر مولی بخار آب در مخلوط می‌باشد و $andis$ ز آند یا کاتد را نشان می‌دهد.

با توجه به این که مقدار فعالیت بخار آب غشاء ناشی از فعالیت بخار آب سمت آند و کاتد می‌باشد، لذا با داشتن فعالیت بخار آب آند و کاتد می‌توان فعالیت بخار آب غشاء را به صورت میانگین این مقادیر تخمین زد، یعنی

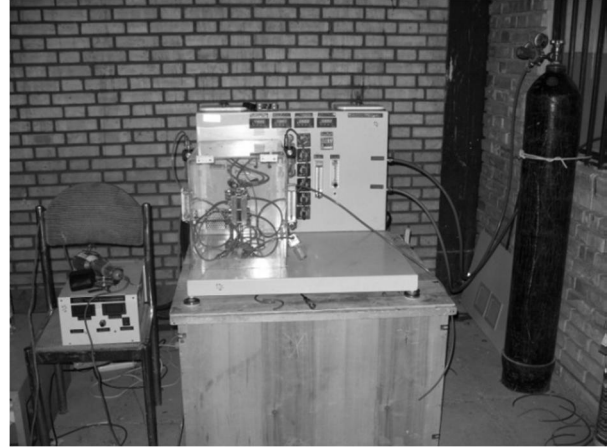


Fig. 2 test set-up of present research and its details

شکل ۲ بستر آزمایش پژوهش حاضر و جزئیات آن

۳- محاسبات تئوری تعادل آب در غشاء

برای بررسی تعادل آب در یک پیل سوختی غشاء پلیمری، نیاز به استفاده از برخی معادلات ریاضی بود که در اینجا به آن‌ها اشاره می‌شود. معادله تعادلی آب بر حسب نرخ مولی در یک پیل سوختی غشاء پلیمری، در قسمت کاتد و آند به صورت رابطه (1) و (2) نوشته می‌شود:

$$\text{Anode : } \dot{N}_{v,a}^{\text{out}} + \dot{N}_{\text{Condense},a} = \dot{N}_{v,a}^{\text{in}} - \dot{N}_v^{\text{EOF}} + \dot{N}_v^{\text{BD}} \quad (1)$$

$$\begin{aligned} \text{Cathode: } \dot{N}_{v,c}^{\text{out}} + \dot{N}_{\text{Condense},c} &= \dot{N}_{v,c}^{\text{in}} + \dot{N}_v^P + \dot{N}_v^{\text{EOF}} - \dot{N}_v^{\text{BD}} \\ &= \dot{N}_{v,c}^{\text{in}} + \dot{N}_v^P - \dot{N}_v^{\text{BD}} \end{aligned} \quad (2)$$

در روابط فوق $\dot{N}_{v,a}^{\text{in}}$ و $\dot{N}_{v,c}^{\text{in}}$ به ترتیب نرخ مولی بخار آب ورودی در سمت آند و کاتد هستند و $\dot{N}_{v,a}^{\text{out}}$ و $\dot{N}_{v,c}^{\text{out}}$ به ترتیب نرخ مولی بخار آب خروجی سمت آند و کاتد می‌باشند که مقدار آنها از رابطه (3) قابل محاسبه می‌باشد:

$$\dot{N}_v = \frac{P_v \dot{V}}{R T} \quad (3)$$

که در این رابطه P_v ، \dot{V} و T به ترتیب فشار جزیی بخار آب، دبی حجمی مخلوط و دمای مخلوط می‌باشند. مقدار P_v را می‌توان از رابطه (4) محاسبه

خاص تغییر زیادی در مقدار جریان الکترو-اسمز مشاهده نمی‌گردد. به عبارت دیگر، در اینجا نیز می‌توان گفت که حالت بهینه‌ای برای رطوبت آند وجود دارد. همچنین طبق این نمودارها با افزایش جریان پل سوختی میزان شیب نمودارهای جریان الکترو-اسمز بحسب رطوبت آند افزایش می‌یابد. البته با مقایسه نمودارهای شکل 3 و 4 به یک تفاوت مهم بی‌می‌بریم و آن اینکه نمودارهای مربوط به رطوبت آند دارای مقدار شیب بیشتری نسبت به نمودارهای مربوط کاتند است. به عنوان مثال، در جریان 2.5 آمپر پبل سوختی زمانیکه رطوبت آند از 0 به 35 درصد تغییر کرد، مقدار جریان الکترو-اسمز از مقدار $6.6 \times 10^{-7} \text{ مول بر ثانیه}$ به $1.3 \times 10^{-6} \text{ مول بر ثانیه}$ می‌افزاید؛ این در حالی بود که مقدار جریان الکترو-اسمز در جریان 2.5 آمپر و تغییر رطوبت کاتند از صفر به 35 درصد از $8.8 \times 10^{-7} \text{ مول}$ به $1.4 \times 10^{-6} \text{ مول}$ بر ثانیه متراز باشد. دلیل این امر را شاید بتوان به جهت حرکت جریان الکترو-اسمز مربوط دانست. به عبارتی، چون حرکت جریان الکترو-اسمز از سمت آند به سمت کاتند است، لذا با افزایش رطوبت آند منطقی است که نرخ تغییرات جریان الکترو-اسمز افزایش یابد. البته اینکه با افزایش جریان شیب نمودارها افزایش می‌یابد نیز ناشی از این نکته است که افزایش مقدار جریان سرعت واکنش‌های آند و کاتند را افزایش داده و حرکت پروتون‌ها از غشاء به سمت کاتند نیز افزایش می‌یابد. لذا، حرکت پروتون‌ها که عامل جریان الکترو-اسمز است باعث افزایش مقدار جریان الکترو-اسمز می‌گردد.

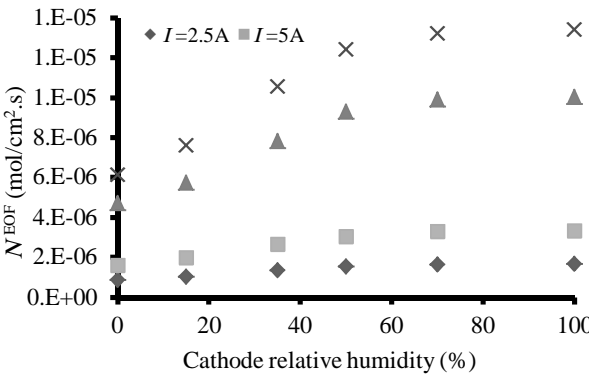


Fig. 3 تغییرات جریان الکترو-اسمز بر حسب رطوبت کاتند در رطوبت آند 70 درصد

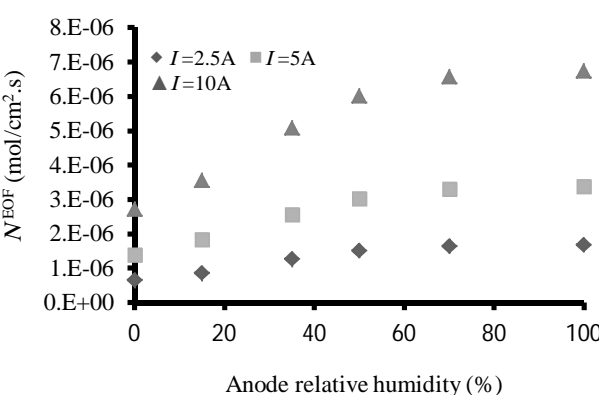


Fig. 4 تغییرات جریان الکترو-اسمز بر حسب رطوبت آند در رطوبت کاتند 70 درصد

داریم [12]:

$$(10) \quad a = \frac{a_{\text{anode}} + a_{\text{cathode}}}{2}$$

در این مقاله، مقدار فعالیت بخار آب درست آند و کاتد به صورت میانگین جریان ورودی و خروجی لاحاظ گردید. با داشتن مقادیر مربوط به جملات مختلف در روابط (1) یا (2) مقدار نرخ مولی نفوذ معکوس N_{VBD} قابل محاسبه می‌باشد.

با توجه به مطالعه گفته شده و همچنین با در نظر گرفتن داده‌های آزمایشگاهی در رطوبتها و جریان‌های مختلف، مقدار جریان الکترو-اسمز، ضریب الکترو-اسمز و نفوذ معکوس بدست آمد و نمودارهای مربوط به آنها بر حسب رطوبت آند و کاتد در جریان‌های مختلف در هر آزمایش رسم و مورد تجزیه و تحلیل قرار گرفت.

4- نتایج و بحث

در این قسمت از مقاله به بررسی نتایج بدست آمده از آزمایشات انجام شده پرداخته می‌شود. بررسی‌های انجام شده در سه بخش تحلیل شد که این سه بخش شامل جریان الکترو-اسمز، ضریب الکترو-اسمز و درگ خالص الکترو-اسمز می‌باشند. در ادامه به بررسی این پارامترها می‌پردازیم.

4-1- اثرات تغییر رطوبت بر جریان الکترو-اسمز

4-1-1- اثر تغییر رطوبت کاتند

در این قسمت، به بررسی اثر رطوبت کاتند بر جریان الکترو-اسمز پرداخته می‌شود. در شکل 3 نمودار جریان الکترو-اسمز بر حسب رطوبت کاتند در جریان‌های مختلف ترسیم شده است. در تمام این آزمایش‌ها مقدار نرخ حجمی گازهای آند و کاتند برابر با 0.5 لیتر بر دقیقه لاحاظ گردید. همانطور که از نمودارهای شکل 3 مشخص است، مقدار جریان الکترو-اسمز با افزایش رطوبت کاتند افزایش می‌یابد. البته باستی توجه داشته باشیم که نرخ افزایش مقدار جریان الکترو-اسمز بر حسب رطوبت کاتند در جریان‌های بالاتر به مراتب بیشتر از جریان‌های پایین‌تر می‌باشد. مطابق شکل 3 در جریان‌های بالاتر و در رطوبت‌های کمتر از 70 درصد تغییرات جریان الکترو-اسمز تقریباً به صورت خطی می‌باشد و برای رطوبت‌های بالای 70 درصد تغییرات محسوسی دیده نمی‌شود. در واقع، با توجه به این مطلب می‌توان نتیجه گرفت که یک حالت بهینه‌ای برای رطوبت سمت کاتند وجود دارد که بعد از این رطوبت مقدار جریان الکترو-اسمز تقریباً ثابت خواهد ماند.

همان‌گونه که از نمودارهای شکل 3 مشخص است در جریان‌های پایین میزان تغییرات جریان الکترو-اسمز بر حسب رطوبت کاتند خیلی زیاد نیست. افزایش رطوبت کاتند در جریان‌های پایین‌تر نیز همانند جریان‌های بالا با تغییرات در این جریان‌ها نسبت به جریان‌های بالاتر بسیار کمتر است. در حالت کلی، می‌توان گفت که مقدار جریان الکترو-اسمز با رطوبت سمت کاتند نسبت مستقیم دارد و با افزایش آن زیاد شده و با کاهش آن کاهش می‌یابد.

4-1-2- اثر تغییر رطوبت آند

بعد از بررسی اثر تغییر رطوبت کاتند بر جریان الکترو-اسمز، اثر تغییر رطوبت آند را بررسی می‌کنیم. در این حالت، مشاهده می‌شود که نمودارهای شکل 3 آمده که در شکل 4 ترسیم شده است بسیار شبیه به نمودارهای شکل 3 است. در واقع، طبق نمودارهای شکل 4 نیز با افزایش رطوبت آند مقدار جریان الکترو-اسمز تقریباً به صورت خطی افزایش یافته و بعد از یک رطوبت

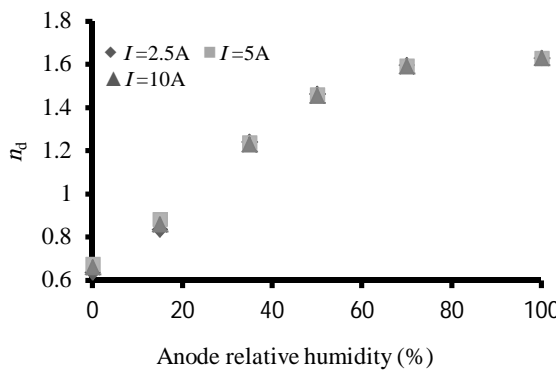


Fig. 6 variations of electro-osmotic coefficient by anode humidity in 70% cathode humidity

شکل 6 تغییرات ضریب الکترو-اسمز بر حسب رطوبت آند در رطوبت کاتد 70 درصد

مقدار ضریب الکترو-اسمز افزایش پیدا می‌کند. با توجه به وابستگی ضریب الکترو-اسمز به فعالیت آب در غشاء انتظار می‌رود که نمودارهای ضریب الکترو-اسمز در سمت آند و کاتد با اندکی تفاوت تقریباً مشابه یکدیگر باشند. در واقع، چون مقدار فعالیت آب در غشاء به صورت مقدار میانگین رطوبت‌های ورودی و خروجی آند و کاتد تقریباً زده می‌شود، لذا با توجه به یکسان بودن مقدار میانگین رطوبت‌های ورودی و خروجی در شکل‌های 5 و 6 می‌توان نتیجه گرفت که نمودارها با ایستی حالت مشابهی داشته باشند. البته همانطور که از روی نمودارها نیز مشخص است در رطوبت‌های کم اندکی نوسان در جریان‌های اولیه وجود دارد ولی با افزایش رطوبت این نوسانات از بین رفته و نمودارها حالت ثابتی به خود می‌گیرند.

4-3-4 اثرات تغییر رطوبت بر درگ خالص

4-3-4-1 اثر تغییر رطوبت کاتد

مطابق شکل 7 مشاهده می‌شود که با افزایش رطوبت کاتد درگ خالص کاهش می‌یابد. اما همان‌طور که از نمودارهای شکل 7 مشخص است مقدار درگ خالص در یک محدوده از رطوبت کاتد به صورت خطی شیبدار رسم شده است و در محدوده‌ای دیگر به صورت یک خط مستقیم می‌باشد. به عبارت دیگر مقدار درگ خالص بر حسب رطوبت کاتد تا یک رطوبت خاص به صورت خطی با افزایش رطوبت کاهش می‌یابد و بعد از این مقدار تغییر چندانی در مقدار آن مشاهده نمی‌گردد. دلیل کاهش مقدار درگ خالص را شاید بتوان این گونه بیان کرد که با افزایش رطوبت در سمت کاتد مقدار نفوذ معکوس آب بیشتر شده و اینکار باعث کاهش مقدار درگ خالصی خواهد شد که اختلاف بین جریان نفوذ معکوس آب و جریان الکترو-اسمز است. نکته دیگری که از نمودارهای شکل 7 نتیجه می‌شود مربوط به تغییرات درگ خالص بر حسب جریان پل سوتی غشاء پلیمری است. با توجه به نمودارها مشخص است که افزایش جریان پل سوتی باعث کاهش مقدار درگ خالص در پل سوتی می‌شود. از آن جایی که افزایش جریان پل سوتی سبب تولید آب بیشتر در سمت کاتد می‌گردد، لذا این امر منجر به برگشت بیشتر جریان از سمت کاتد به سمت آند شده و در نتیجه آن مقدار درگ خالص کاهش می‌یابد.

4-3-4-2 اثر تغییر رطوبت آند

در شکل 8 نمودارهای مربوط به تغییرات درگ خالص بر حسب رطوبت آند ترسیم شده است. با توجه به نمودارهای شکل 8 مشاهده می‌شود که با

4-2-4-2-1 اثر تغییر رطوبت کاتد

شکل 5 تغییرات ضریب الکترو-اسمز را در جریان‌های مختلف پل سوتی مورد آزمایش بر حسب رطوبت کاتد نشان می‌دهد. طبق نمودارهای شکل 5 مشخص است که هر چقدر رطوبت کاتد افزایش می‌یابد تغییرات ضریب الکترو-اسمز بر حسب رطوبت کاتد نیز به یک حالت پایدار و ثابت می‌رسد. به عبارت دیگر می‌توان گفت تغییرات ضریب الکترو-اسمز بر حسب رطوبت کاتد تا یک رطوبت خاص به صورت خطی است، اما از یک نقطه به بعد با افزایش رطوبت کاتد تغییر چندانی در مقدار ضریب الکترو-اسمز مشاهده نمی‌شود. همچنین با توجه به نمودارهای شکل 5 می‌توان گفت افزایش جریان پل سوتی در رطوبت‌های کمتر از حدود 60 درصد سبب کاهش مقدار ضریب الکترو-اسمز می‌گردد و در مقادیر بیش از این رطوبت ضریب الکترو-اسمز تغییر چندانی نخواهد داشت. علت اینکه در رطوبتها بالا تغییرات چندانی در ضریب الکترو-اسمز مشاهده نمی‌شود را شاید بتوان این گونه بیان کرد که افزایش جریان پل سوتی علاوه بر اینکه باعث افزایش حرکت پرتون از سمت آند به سمت کاتد می‌شود، باعث افزایش تولید آب در سمت کاتد نیز می‌گردد. می‌دانیم که تولید آب در سمت کاتد باعث برگشت جریان آب به سمت آند می‌شود و این عمل مخالف جریان آبی است که توسط پرتوون‌ها از سمت آند به سمت کاتد می‌آید، لذا یک حالت تعادل در ضریب الکترو-اسمز ایجاد می‌گردد.

4-2-4-2-2 اثر تغییر رطوبت آند

شکل 6 ضرایب الکترو-اسمز را در رطوبت‌های مختلف آند نشان می‌دهد. در این شکل نیز نمودارهای مشابه با نمودارهای شکل 5 مشاهده می‌شود. در واقع، در شکل 6 نمودارهای رسم شده در جریان‌های مختلف شکل مشابهی دارند. تمام این نمودارها به دو قسمت تقسیم می‌شوند؛ یک بخش از هر نمودار تغییرات خطی ضرایب الکترو-اسمز بر حسب رطوبت آند را نشان می‌دهد و بخش دیگر تغییرات چندانی را برای ضرایب الکترو-اسمز بر حسب رطوبت آند نشان نمی‌دهد و تقریباً به صورت یک خط مستقیم است. در شکل 6 نیز نمودارها این نکته را القاء می‌کنند که از یک رطوبت خاص آند به بعد تغییرات چندانی در ضریب الکترو-اسمز وجود ندارد.

با توجه به نمودارهای شکل 6 مشاهده می‌گردد تغییرات ضرایب الکترو-اسمز بر حسب جریان پل سوتی تقریباً ثابت است و با افزایش رطوبت آند

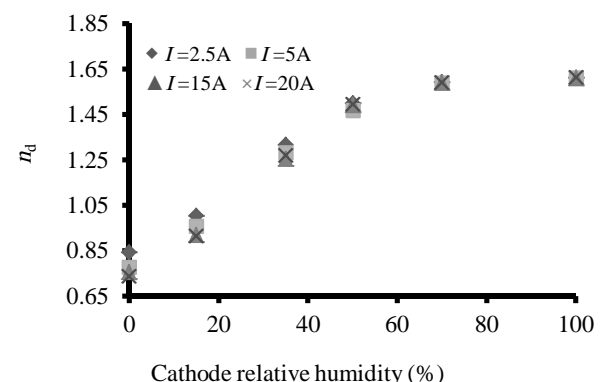


Fig. 5 variations of electro-osmotic coefficient by cathode humidity in 70% anode humidity

شکل 5 تغییرات ضریب الکترو-اسمز بر حسب رطوبت کاتد در رطوبت آند 70 درصد

جریان الکترو-اسمز می‌شد. همچنین از روی نمودارها و نتایج مشخص شد که از یک رطوبت به بعد تغییرات خیلی کم شده و حالت بهینه‌ای برای رطوبت آند و کاتد قابل محاسبه بود.

همچنین، با توجه به نمودارهای مربوط به رطوبت کاتد و آند می‌توان این تفاوت را مشاهده کرد که مقادیر جریان الکترو-اسمز در حالتی که رطوبت آند بیشتر از رطوبت کاتد است عدد بزرگتری را نشان می‌دهد. به طور مثال، در رطوبت 70 درصد آند و 35 درصد کاتد و جریان 5 آمپر مقادیر جریان الکترو-اسمز برابر با 2.66639×10^{-6} مول بر سانتی‌متر مریع بر ثانیه ثبت شد، در حالیکه این عدد در رطوبت 70 درصد کاتد و 35 درصد آند در همان جریان برابر با 2.56418×10^{-6} مول بر سانتی‌متر مریع بر ثانیه بود. با توجه مقادیر به دست آمده برای ضرایب الکترو-اسمز نیز مشخص شد که تغییرات این پارامتر برحسب رطوبت کاتد و آند به صورت خطی با شبیث مشبت است. البته این تغییرات تا یک رطوبت خاص وجود داشت و بعد از آن تغییرات ناچیزی در مقادیر ضریب الکترو-اسمز مشاهده گردید. همچنین نتایج نشان داد که تاثیر جریان پیل سوختی بر ضریب الکترو-اسمز بیشتر در رطوبت‌های کم اتفاق می‌افتد و با افزایش مقادیر رطوبت اثر جریان پیل سوختی بر ضریب الکترو-اسمز کاهش می‌یابد. با بررسی نتایج مربوط به درگ خالص معلوم شد که تغییرات درگ خالص برحسب رطوبت کاتد به صورت خطی با شبیث منفی بود، اما نمودار این تغییرات برحسب رطوبت آند دارای شبیث مشبت بود. البته نکته مشترکی در این نمودارها مشاهده گردید و آن این بود که در نمودارهای به دست آمده برای هر دو حالت رطوبت کاتد و آند با افزایش جریان پیل سوختی نمودارها دچار افت می‌شوند. نکته مهمی دیگری که در آزمایش‌ها حاصل گردید این بود که در رطوبت کاتد صفر و رطوبت آند 70 درصد، بیشترین جریانی که از پیل سوختی غشاء پلیمری کشیده شد برای با 0.86 آمپر بر سانتی‌متر مریع بود اما این مقادیر در رطوبت صفر آند و 70 درصد کاتد برابر با 0.512 آمپر بر سانتی‌متر مریع به دست آمد. به عبارت دیگر، می‌توان گفت در بحث رطوبت‌زنی گازهای پیل سوختی غشاء پلیمری، هر چند مربوط بودن هر دو سمت آند و کاتد دارای اهمیت ویژه‌ای است، اما اهمیت رطوبت‌زنی در سمت آند نسبت به رطوبت‌زنی در سمت کاتد از اهمیت خاص‌تری برخوردار است که باستانی‌ترین مورد توجه واقع شود.

6- مراجع

- [1] G. Karimi, X. Li, Electroosmotic flow through polymer electrolyte membranes in PEM fuel cells, *Journal of Power Sources*, Vol. 140, No. 1, pp. 1-11, 2005.
- [2] Q. Yan, H. Toghiani, J. Wu, Investigation of water transport through membrane in a PEM fuel cell by water balance experiments, *Journal of Power Sources*, Vol. 158, No. 1, pp. 316-325, 2006.
- [3] W.-M. Yan, H.-S. Chu, J.-Y. Chen, C.-Y. Soong, F. Chen, Transient analysis of water transport in PEM fuel cells, *Journal of Power Sources*, Vol. 162, No. 2, pp. 1147-1156, 2006.
- [4] Y. Cai, J. Hu, H. Ma, B. Yi, H. Zhang, Effect of water transport properties on a PEM fuel cell operating with dry hydrogen, *Electrochimica Acta*, Vol. 51, No. 28, pp. 6361-6366, 2006.
- [5] A. Husar, A. Higier, H. Liu, In situ measurements of water transfer due to different mechanisms in a proton exchange membrane fuel cell, *Journal of Power Sources*, Vol. 183, No. 1, pp. 240-246, 2008.
- [6] Y. H. Park, J. A. Caton, An experimental investigation of electro-osmotic drag coefficients in a polymer electrolyte membrane fuel cell, *International Journal of Hydrogen Energy*, Vol. 33, No. 24, pp. 7513-7520, 2008.
- [7] P. K. Das, X. Li, Z.-S. Liu, Analysis of liquid water transport in cathode catalyst layer of PEM fuel cells, *International Journal of Hydrogen Energy*, Vol. 35, No. 6, pp. 2403-2416, 2010.

افزایش مقدار رطوبت آند میزان درگ خالص نیز افزایش می‌یابد. در حقیقت، با افزایش رطوبت در سمت آند مقدار جریان الکترو-اسمز افزایش یافته و در نتیجه آن مقدار درگ خالص که اختلاف بین نفوذ معکوس و جریان الکترو-اسمز است نیز افزایش می‌یابد. با توجه به شکل 8 می‌توان گفت که در نمودارهای این شکل نیز افزایش درگ خالص تا تیک رطوبت خاص اتفاق می-افتد و بعد از آن تغییرات درگ خالص برحسب رطوبت آند بسیار ناچیز می-شود. به عبارت دیگر، در این قسمت نیز می‌توان حالت بهینه‌ای را برای رطوبت به دست آورد. در نمودارهای شکل 8 همانند نمودارهای شکل 7 می-توان به این نکته اشاره کرد که مقدار تغییرات درگ خالص برحسب رطوبت آند با افزایش جریان پیل سوختی کاهش می‌یابد. علت این امر همان‌گونه که در بخش قبل نیز گفته شد به افزایش تولید آب در سمت کاتد بر می‌گردد. در واقع، افزایش جریان پیل سوختی باعث افزایش تولید آب در سمت کاتد شده و باعث برگشت بیشتر جریان از کاتد به آند می‌شود و در نتیجه این کار مقدار درگ خالص کاهش می‌یابد.

5- نتیجه گیری

در این پژوهش، بررسی آزمایشگاهی تغییر رطوبت در گازهای ورودی به پیل سوختی تک سلولی غشاء پلیمری با مقطع بیضوی انجام گرفت و تاثیر آن بر جریان الکترو-اسمز و ضریب آن مورد بررسی واقع گردید. با توجه به مقادیر به دست آمده مشاهده شد که تغییرات جریان الکترو-اسمز برحسب رطوبت آند و کاتد تقریباً به‌طور خطی بود و افزایش مقدار رطوبت باعث افزایش مقدار

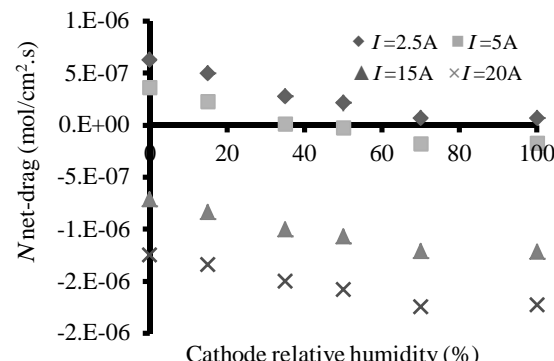


Fig. 7 تغییرات درگ خالص برحسب رطوبت کاتد در رطوبت آند 70 درصد

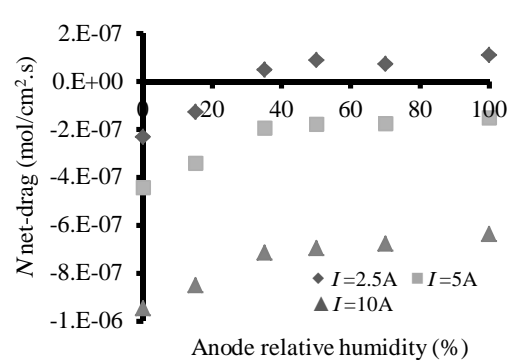


Fig. 8 تغییرات درگ خالص برحسب رطوبت آند در رطوبت کاتد 70 درصد

- for Proton-Exchange-Membrane fuel cells, *Journal of the Electrochemical Society*, Vol. 140, No. 8, pp. 2178-2186, 1993.
- [11] B. Zhou, W. Huang, Y. Zong, A. Sobiesiak, Water and pressure effects on a single PEM fuel cell, *Journal of Power Sources*, Vol. 155, No. 2, pp. 190-202, 2006.
- [12] N. Mulyazmi, W. Daud, E. Majlan, M. Rosli, Water balance for the design of a PEM fuel cell system, *International Journal of Hydrogen Energy*, Vol. 38, No. 22, pp. 9409-9420, 2013.
- [8] E. Misran, N. S. M. Hassan, W. R. W. Daud, E. H. Majlan, M. I. Rosli, Water transport characteristics of a PEM fuel cell at various operating pressures and temperatures, *International Journal of Hydrogen Energy*, Vol. 38, No. 22, pp. 9401-9408, 2013.
- [9] J. Zhang, Y. Tang, C. Song, Z. Xia, H. Li, H. Wang, J. Zhang, PEM fuel cell relative humidity (RH) and its effect on performance at high temperatures, *Electrochimica Acta*, Vol. 53, No. 16, pp. 5315-5321, 2008.
- [10] T. V. Nguyen, R. E. White, A water and heat management model